

山东新泰一带泰山羣变质岩类和 岩浆岩类岩石的地質年代学研究

程裕淇 沈其韓 王澤九 鄭貢峙

于柴炳 張自超

一、前 言

泰山羣原称泰山杂岩，组成的岩石成分复杂，发育于山东中、西部——包括泰山地区。对于它的性质和时代，地质工作者曾有一些不同的看法。最初，在一个较长的时期内有不少人^[1,2]认为它是我国最老的地层，是太古代的老基底；后来有人^[3,4]主张它和“五台系”同时作为太古代的同时异相变质岩看待；也有人^[5,6]认为它是晚于“五台系”的侵入体，属太古代晚期，应取消其地层层位。这些是对它未作較系統的調查研究情况下所提出的一些看法。

1958年以来，地質界对泰山羣进行了一系列的工作。1958—1961年，北京地質学院师生受了山东省地质局的委托，在山东中、西部进行区域地质測量以后，对泰山羣有了进一步的、比較全面的了解。他們^[7]認為泰山羣是一套复杂的变地槽型沉积，并含有火山建造的变质和混合岩化产物；根据新泰雁岭关地区和新泰、平邑两县太平頂地区（图3）两个标准剖面和其他地区的資料，建立自下而上的四个組：

一、万山庄組——黑云斜长片麻岩夹斜长角閃岩組。

二、太平頂組——黑云斜长片麻岩，黑云石英片岩組。

三、雁嶺关組——角閃片岩、斜長角閃岩組。

四、山草嶺組——黑云变粒岩組。

其时代划归太古代。中国科学院地質研究所泰山以北侵入于泰山羣中桃科花崗岩內所采黑云母，于1959年經苏联科学院达格斯坦分院測定为17.7亿年。主要根据了这些資料，第一次全国地层會議有关文件^{[2][4][5]}中进一步确定了泰山羣属于太古代，并推定有可能較五台羣为老。1960—1961年，山东地質局805队在同一地区进行了較小范围的区測工作，基本上采用了北京地質学院的分层，作了一些补充^[8]。在本文付印前，李璞报到了^[9]泰山二云母微斜混合岩中黑云母的平均年龄为20.3亿年，較上述花崗岩早2亿多年。

为了配合区測工作的开展，为泰山羣分布地区今后地質工作提供一些地質資料，創造一些条件，并积累一些研究一个古老变质岩系的岩石組成、地层划分、地質发展史等方面

1) 山东省地質厅、北京地質学院区測一队 1961 济南、泰安等六幅区域地質測量報告(1)。

2) 该队未出版資料。

的工作經驗。自 1961 年冬起，作者等和有关同志¹在上述雁岭关、太平顶两地区标准剖面附近，并以雁岭关区为重点，曾断續对泰山带的部分岩层进行了变质岩石学和有关工作，同时对不同层位或岩带的某些岩石类型，采集了一些绝对年龄样品以供测定，从而为說明变质作用、混合岩化作用、岩浆活动的以及岩层本身的时代提出科学数据。

本文将在簡略介紹实验方法、地区和样品的基本地质特征基础上，結合地質情況，对工作地区 20 个钾-氩法绝对年龄数值的年代学等有关問題进行討論。关于岩石学和其他地質工作的成果，将来再作专门报导。

这是一项集体工作的成果。805 队担任样品的初步加工，地質科学研究院担任了实验室测定。参加测定工作的除于荣炳、张自超外，还有沈寒珍、白云彬、潘仲华、富云蓬、葛邑兰、崔承玉、刘教懿、樊天益等同志。

在实验室开始筹建时，曾得到 H. И. 波列娃娅（Полевая）教授的帮助；在工作过程中，得到中国科学院地質研究所和其他兄弟单位的协作和支持。在此表示感谢。并对所有对本项工作予以支援协作的同志致谢。

二、实验方法

钾-氩法是基于 K^{40} 以 K 层俘获的衰变，即 $K^{40} \rightarrow Ar^{40}$ 的衰变原理。根据矿物中母、子体元素的含量，来计算其年龄的。

钾在地壳中平均含量为 2.6%，由 K^{40} 、 K^{41} 、 K^{42} 三种同位素组成。其中放射性的 K^{40} 占 0.0119%（原子比）。 K^{40} 的衰变产物之一是 Ar^{40} ，氩具有較大的原子量和原子半径（較氮的原子半径大一半），因此氩不易在矿物的原子构造内部轉移，而它以扩散方式消失的可能性較氮消失的可能性小得多，这就为 K-Ar 法测定年龄提供了較优越的基本条件。同时由于自然界存在的钾矿物较多，分布也很广，所以钾-氩法虽然很年轻，但已經得到了迅速的发展和广泛的应用，目前已成为测定绝对年龄的主要方法之一。

測定工作主要是利用已有的方法与技术，经过较长时期的試驗，所得的数据基本上保持在方法允許的誤差范围以内。

进行测定的样品都符合規定的采样要求²。样品都經過精选及显微鏡下检查，比較新鲜，純度都在 98% 以上，粒度一般不小于 0.25 毫米，极个别样品在 0.2 毫米左右。

測氩采用容积法。以仿苏簡化的赫洛平-格林林克（Хлопин-Гердинг）型析氩仪进行測氩工作，用硅碳棒加热的管式炉熔样。工作条件是：使仪器系統真空度达到 $10^{-4} mmHg$ ，熔样温度黑云母是 $1,300^{\circ}\text{C}$ ，白云母是 $1,350^{\circ}\text{C}$ ，基本保持 2 小时，以确保样品全熔和矿物中的氩全部析出。經显微鏡下检查，绝大部分样品熔融是完全的。应用麦氏压力計进行氩-40容积的測定。有一半样品作了平行試驗，两次測定的重复性誤差为 $\pm 1\text{--}3\%$ 。曾利用苏联科学院的标准样品和全苏地質研究所已分析过的我国自采样品作了試驗，測定的结果与原值基本吻合，差能在 $\pm 2.5\%$ 以内（表 1）。

矿物中钾的含量用火焰光度計进行测定，其分析誤差小于 $\pm 2\%$ ；小部分样品用双苦胺作了检查。曾利用苏联标准样品进行了試驗，并請有关兄弟单位作过检验，其結果基本

1) 表 3、表 4 所列绝对年龄样品采集人，大部分都参加了有关野外地質工作。

2) 地質部地質科学研究院 1962 年 5 月的資料：“利用氩法测定矿物和岩石绝对年龄的采样規程”。

表 1 对照苏联标准样品分析结果

(年龄单位: 百万年)

分析单位 样品	年龄值		相对误差(%)
	苏联分析	地质科学研究院*	
苏标准样(黑云母)	1718	1742	+1.39
同上	1800	1840	+2.22
中国 KL-168 (白云母)	1883	1854 1836	-2.02

* 地质科学研究院所得的数据未经同位素校正。

表 2 测钾结果

样品	测定单位	K%	相对误差(%)
白云母 (苏标准 样品)	1. 中国科学院地质研究所	8.54	+0.4
	2. 苏联科学院格鲁吉亚分院 地质 研究所	8.50	-
	3. 地质科学研究院	8.45	-0.4
长石 (苏标准 样品)	1. 苏联科学院格鲁吉亚分院 地质 研究所	10.91	-
	2. 地质科学研究院	10.82	-0.9
白云母 (61062)	1. 北京某研究所	8.36	(平均值8.32%) +0.8
	2. 地质科学研究院	8.29	-0.8

* 以苏联科学院格鲁吉亚分院地质研究所结果作标准。

上是一致的(表 2)。

氯的同位素分析是应用苏制 MU-1305 型质谱计进行的。分析条件是: 离子源与分析室的真空度为 $2\text{--}3 \times 10^{-7} \text{ mm Hg}$, 发射电流 1.5 mA, 加速电压 4 KV, 游离电压 40—70 V, 拉出聚焦电位及游离电压的选择使 Ar^{40} 峰达到最大值, 分辨率 $M/\Delta M > 200$, 进气系统真空度抽到 10^{-7} mm Hg 。测量方法是采用第二放大器轮迴接受 Ar^{40} 和 Ar^{36} 之峰直接读数。根据进样时 Ar^{40} 离子流的幅度, 采取不同的 $(\text{Ar}^{40}/\text{Ar}^{36})$ 标准值来计算校正系数。分析误差约 $\pm 5\%$ 。

计算年龄所采用的公式是:

$$t = \lg \left(\frac{\Lambda r^{40}}{K^{40}} \times \frac{\lambda_B + \lambda_K}{\lambda_K} + 1 \right) / (\lambda_B + \lambda_K) \times \lg e$$

代入 λ 后是:

$$t = 4363 \left[\lg \left(\frac{\Lambda r^{40}}{K^{40}} + 0.1056 \right) + 0.9765 \right] \text{ 百万年}$$

应用的放射性衰变常数是:

$$\lambda_K = 0.557 \cdot 10^{-10} \text{ 年}^{-1}$$

$$\lambda_B = 4.72 \cdot 10^{-10} \text{ 年}^{-1}$$

 K^{40} 的计算, 是利用钾同位素的比例 $K^{40}/(K^{39} + K^{40})$, $K^{40} = 1.22 \cdot 10^{-4}$ 克/克·K%。

— — — — —

三、雁岭关区地质概况

雁岭关区位于泰安东南40余公里，新泰县城西北约30公里（图3）。西南去徂徕山不远，其东北即为新甫山。这是北京地学院测队建立山草峪组和雁岭组的地区，作者通过较详细的工作，肯定了他们所提出的层序，即前者层位在上。又他们以为在雁岭关组之下，是太平顶组的地层，经过这次研究，认为它的岩性同标准产地太平顶组的岩层性质差别相当大，不能对比，因此暂时命名为任家庄组。

本区岩层走向和其他构造线的方向大致为西北—东南，从东北而西南，上述三组自老而新依次出露。在一部分地区，尤其在本区西南端（图1），地层向西南倒转，反向东北倾斜，有时也见到密挤的小褶皱；倾角一般较大或很大，层理同叶理大致平行。绝大部分岩石所受的区域变质作用属铁铝榴石角闪岩相¹⁾，局部地区的矿物组合，能进一步说明仅达到这个相的十字石—石英亚相，但在某些动力变质带及其附近，已退化变质为绿片岩相。任不同地区又受到不同性质和不同程度的混合岩化、花岗岩化作用²⁾的影响，因而在三个组的分布范围内又出现了不同的岩带。

任家庄组的绝大部分岩石已受到以钠质交代作用为主的混合岩化作用，其中大部分已变为中、粗粒微具条痕状的黑云奥长均质混合岩，构成一个岩带（图1之2），原岩大致相当于黑云变粒岩类，但亦含有少量残留的黑云斜长片麻岩、白云母片岩和斜长角闪岩薄层。这个岩带的西南侧含有很多合铁铝榴石、电气石和白云母的微斜长石伟晶岩及其他岩脉，其他部位较少，东北侧则渐次过渡到微具片麻理的中、粗粒黑云奥长混合花岗岩（图1之1）。

雁岭关组分布于任家庄组的西南，现在和后者呈大致平行的选择性混合岩化接触，经过综合研究，认为在未受混合岩化作用以前，很可能原是沉积整合接触。但两者岩性不同，后者层位在下。下部由细粒斜长角闪岩和角闪变粒岩为主，夹有细粒黑云变粒岩、含黑云母角闪变粒岩、含角闪石透闪变粒岩等，可分成3—4个基性喷发—沉积旋迴。斜长角闪岩大部分原是基性熔岩，也包括了一些较小基性侵入岩层和岩体，变粒岩类大致是不同性质的基性火山碎屑岩类，也可能有一部分是基性凝灰岩类。上部含斜长角闪岩较多，其底部有含砾的角闪变粒岩³⁾，包括两个基性喷发沉积旋迴。上下两部都含有层状或豆英状阳起透闪岩（片岩）、滑石透闪岩（片岩），其中有的还夹有蛇纹岩（图1之3），至少一部分应是变质的超基性岩。全组厚达1,200米左右。部分地区有含电气石和白云母的微斜长石伟晶岩脉⁴⁾和其他岩脉，甚至密集成带。

山草峪组分布很广，底部和雁岭关组顶部呈过渡关系，但岩性仍有明显的差别，它本身的岩石几乎全部属变粒岩类，其中以细粒黑云变粒岩、含黑云母变粒岩为主，有清晰的层纹理，部分具小的沉积韵律，原岩主要为粉砂质岩石，也有少量二云变粒岩、黑云石英片岩、角闪变粒岩等夹层。此外，也有原为侵入体的斜长角闪岩和变辉绿岩。这些岩石在部

1) 斜长石主要为酸性的中长石。

2) 新生的斜长石为不同成分的镁长石。

3) 1960年由805队张成基同志发现。

4) 有时也含黄铁矿脉。

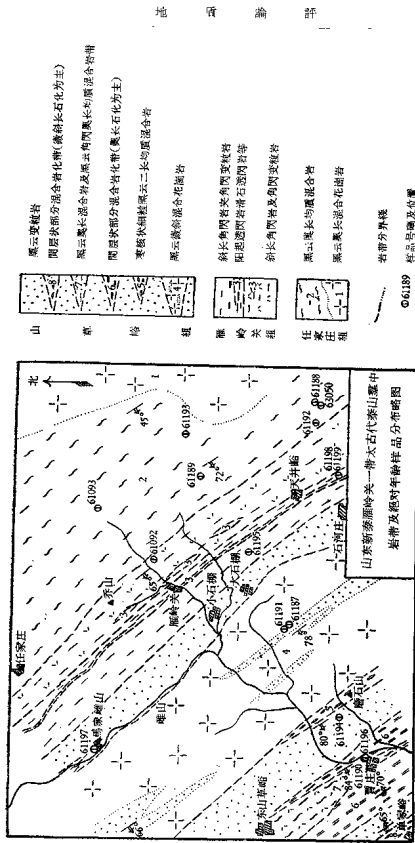


图 1

此为试读,需要完整PDF请访问: www.ertongbo.com

分地区，又受到了不同程度的混合岩化、花岗岩化作用，因此在山草峰組地区出現几个性质不同的岩带。自东北而西南有：1)黑云微斜混合花崗岩带(图1之4)；2)含寒核状长英质集休的中、細粒黑云二长均质混合岩带(图1之5)；3)由中、細粒黑云奥长均质混合岩和黑云变粒岩组成的間层状部分混合岩化带(图1之6)；4)中、粗粒黑云奥长混合岩和黑云角闪奥长均质混合岩带(图1之7)，在后一类岩石中还含有变輝綠岩、变閃长岩残留体；5)由中粒黑云微斜眼球状混合岩和黑云变粒岩组成的間层状部分混合岩化带(图1之8)。富含奥长石的混合岩，所受的碱交代作用以钠质为主，富含微斜长石的，则以钾质为主。部分地区有含电气石和白云母的微斜长石伟晶岩脉和其他脉岩。

上述五組岩层原为古老的地槽性质沉积，局部还夹有基性熔岩和有关的碎屑岩层、侵入体等；在它們受到緊密構造和区域变质过程中，还受到不同性质的岩浆活动甚至混合岩化、花岗岩化作用的影响。有一定的地質证据说明混合岩化、花岗岩化作用的終止較区域变质作用为晚。

四、雁嶺关地区絕對年齡数据的討論

本区已测定的鉀-氩法絕對年齡数值有16个(表3)，其采样地点見图1。2个黑云母样品采自任家庄組的黑云奥长均质混合岩(表3，順序号1,2)，岩石也含少量微斜长石，奥长石稍偏基性，具有多种典型的混合岩結構¹⁾，其平均年齡值稍低于19亿年，大致代表岩石(及岩帶)所受以钠质交代为主的混合岩化作用的时代。另一黑云母样品(表3之3)是从麦留丁混合岩中的黑云斜长片麻岩采的(图2)，殘留体界綫部分平直，部分是锯齿状乃至模糊不清，样品仅受极輕的混合岩化作用，其时代为24.35亿年，可大数指示这个組原受区域变质作用的时代，但其年齡值可能有所減小，因为采样地点距殘留体边缘很近，而离上述混合岩样品之一(順序号2，見图2)又只約16米，两者年齡值的差別却达到6.53亿年(27-%²⁾)。

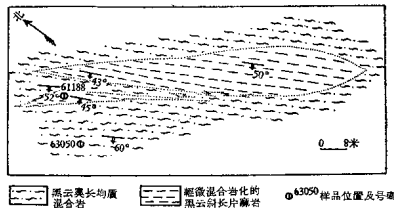


图2 天井峪东南絕對年齡样品位置及地质背景图

另一样品(表3之4，即61197)是山草峪組黑云变粒岩，距黑云微斜混合花崗岩10+米，所含黑云变粒岩中的稍大，其年齡值是24.60亿年，同上述任家庄組的

1) 以年齡值極大的样品值為基數，以下同。

表 3 山东新泰阳谷区变质岩类和岩浆岩类岩石矿物对年轮数据表

顺序号	样品编号	矿物名称	采样地点	岩石	k_{18}	k_{18}	Δt^{18}	测定年龄 (百万年)	采样者	备注
1	61189(1) (Ay-6)	黑云母	小石膏东北 天台山带(变质带)	任家庄组黑云长石变质混合岩	6.83	0.1860	0.1903	1954	王泽九、 刘群华等	与172号 花岗岩等 一起露头 如良山、 刘群华等
2	63050 (Ay-1021)	黑云母	天台山带(变质带)	任家庄组黑云长石变质混合岩中风化带	7.12	0.1431	0.1648	(1732±9) (1782)	王泽九、 刘群华等	与63054相距16 米
3	61188 (Ay-24)	黑云母	天台山带(变质带)	留村组黑云长石变质混合岩	7.54	0.2549	0.2770	2435	王泽九、 刘群华等	与172号 花岗岩等 一起露头 如良山、 刘群华等
4	61187 (Jy-8)	黑云母	泰山带(变质带)	新庄组黑云长石变质混合岩	7.16	0.2656	0.2812	2460	王泽九、 刘群华等	与61187相距约 20米
5	61187 (Ay-33)	黑云母	大石膏带(变质带)	任家庄组黑云长石变质混合岩(风化带)	7.07	0.2220	0.2574	2344	王泽九、 刘群华等	与61187 花岗岩等 一起露头 如良山、 刘群华等
6	61187 (Ay-50)	黑云母	大石膏带(变质带)	泰山带(变质带)	6.78	0.1850	0.223	2342	王泽九、 刘群华等	与61187 花岗岩等 一起露头 如良山、 刘群华等
7	61190 (Ay-95)	黑云母	夏庄组北带(变质带)	泰山带(变质带)	7.15	0.2154	0.2469	2285	王泽九、 刘群华等	与61187相距约 4米
8	61190 (Ay-96)	黑云母	夏庄组北带(变质带)	部分风化的泰山带(变质带)	7.56	0.1787	0.1936	1975	王泽九、 刘群华等	与61187相距约 4米
9	61193 (Jy-1)	白云母	温泉关村泰山带 上(变质带)	任家庄组黑云长石变质混合岩中的电气石	8.16	0.2892	0.2884	2195	王泽九、 刘群华等	与61187 花岗岩等 一起露头 如良山、 刘群华等
10	61194 (Ay-97)	白云母	温泉关村泰山带 中(变质带)	任家庄组黑云长石变质混合岩中的电气石	8.41	0.2902	0.2916	2308	王泽九、 刘群华等	与61187 花岗岩等 一起露头 如良山、 刘群华等
11	61093 (G-1-5)	白云母	温泉关村泰山带 老庄组黑云长石带	任家庄组黑云长石变质混合岩中的电气石	9.64	0.2551	0.2172	(2118)	王泽九、 刘群华等	与61187 花岗岩等 一起露头 如良山、 刘群华等
12	61092 (G-7-4)	白云母	温泉关村泰山带 任家庄组黑云长石带	任家庄组黑云长石变质混合岩中的电气石	8.49	0.2569	0.2560	(2385) (2391)	王泽九、 刘群华等	与61187 花岗岩等 一起露头 如良山、 刘群华等
13	61195 (Ay-72)	白云母	大石棚东带	任家庄组黑云长石变质混合岩中的电气石	7.95	0.2547	0.2626	2367	王泽九、 刘群华等	与61187 花岗岩等 一起露头 如良山、 刘群华等
14	61194 (Ay-191)	白云母	石河庄东带	任家庄组黑云长石变质混合岩中的电气石	8.49	0.2547	0.2456	2278	王泽九、 刘群华等	与61187 花岗岩等 一起露头 如良山、 刘群华等
15	61190 (Ay-191)	黑云母	石河庄东带	任家庄组黑云长石变质混合岩中的电气石	7.51	0.1923	0.2099	2375	王泽九、 刘群华等	与61187 花岗岩等 一起露头 如良山、 刘群华等
16	61192 (Ay-245)	白云母	天井寺东带	任家庄组黑云长石变质混合岩中的电气石	9.03	0.2669	0.2422	2360	王泽九、 刘群华等	与61187 花岗岩等 一起露头 如良山、 刘群华等

①实验结果品系号与原产地品系号一致。

②括弧内数据未进行元素分析,且已改用一样品,或说样品及相邻的同属样品中所含大气辐射年龄,为初步数据。天井寺。

③括弧内数据未进行元素分析,且已改用一样品,或说样品及相邻的同属样品中所含大气辐射年龄,为初步数据。天井寺。

残留片麻岩的区域变质年龄基本符合，但也可能已有所减小。混合花岗岩体中残存的山草峪组黑云角闪斜长片麻岩中黑云母（表3之5, 61191）的年龄值是23.42亿年，粒度较該組一般岩石为粗，结构、构造也有所不同，斜长石为基性奥长石，它的年龄比样品61197又小1亿年，已受到了一定程度的改变或“迁就”；相距约20米¹⁾的混合花岗岩中黑云母（表3之6, 61187）的年龄值是21.97±0.45亿年，大致代表这期以钾交代作用为主的混合岩化作用的时代，同残存片麻岩时代的差别是1.45亿年（6+‰）。

贾庄附近的层状部分混合岩化带中采了2个样品，一个是轻微混合岩化的黑云变粒岩（表3之7, 61190），同山草峪组正常变粒岩比较，层较厚，粒度较粗，斜长石已为基性的奥长石，薄片中看到一些混合岩化的迹象，其数值是22.85亿年，如和上述61197号样品相比，减小了将近2亿年。另一个是相距4米²⁾的部分混合岩化黑云变粒岩（表3之8, 61196），呈块状，粒度更粗，斜长石是稍偏基性的奥长石，混合岩结构更为明显，岩性已接近比较均匀的黑云斜长混合岩，年龄值是19.75亿年，可能接近于岩石所经历的以钠交代作用为主的混合岩化作用时代，混合岩化程度更高的年龄值有可能更小一些，同任家庄组所受相似性质混合岩化作用时代大致吻合。贾庄附近两个年龄值的差别是3.1亿年（13+‰）。

在三个组的微斜长石伟晶岩脉中采了六个白云母样品，分属两个年代组。年代較老的有两个（表3之9, 10，即61193, 61194），分别侵入于任家庄组和山草峪组中，年龄值都接近25亿年。年代較晚的有4个（表3之11—14，即分别为61093, 61092, 61195, 61198），侵入于任家庄组和雁岭关组中，其年龄值为21.90—23.67亿年，平均年龄数约为22.64亿年。样品61198采自一条宽2.8米的岩脉，其边部有大片黑云母，系由钾交代带围岩中的普通角闪石所生成，它（表3之15, 61199）的年龄值是20.75亿年，較61198的小2.03亿年（9-%）。

此外，任家庄组中伟晶质花岗岩中白云母（表3之16, 61192）的年龄值是22.6亿年，和上述第二期伟晶岩的平均值基本吻合。

根据以上所述，可见：

(1) 8个黑云母样品数值（表3, 1—8）说明本区岩层的区域变质时代>24.5亿年，地层本身和早期基性岩浆活动的时代当更为古老。它们所经历的以钾交代作用为主的混合岩化作用的终止时期今約22亿年，以钠交代作用为主的距今約19亿年。值得注意的是区域变质生成黑云母都会受到晚期交代作用（或岩浆活动）的影响而降低其年龄值，其改变程度决定于所受影响的深浅和交代作用终止的具体时期，但即使在很短距离内（4米），也未出现年龄值基本相等情况。

(2) 7个白云母样品数值（表3之9—14, 16）说明本区的酸性岩浆活动主要分两期：早期是25亿年的伟晶岩脉，晚期是大致为22.6—22.8亿年的伟晶岩脉和伟晶质花岗岩。

(3) 一个晚期伟晶岩脉中黑云母样品（表3之15）的年龄值較同一岩脉中白云母年龄小2.03亿年（差率为9-%），因而出现了用两种云母所得数值进行年代討論时是否需

1) 两个样品間联线与片麻理走向交角不大。

2) 两个样品間联线与叶脉走向斜交。

要进行校正的问题。看来早期伟晶岩脉的实际年代仍应较区域变质为晚；晚期伟晶岩脉及伟晶花岗岩的时代也有可能稍晚于以钾交代作用为主的混合岩化作用，至少两者大致属同一活动期。这样，绝对年龄数值和地质观察结果将完全吻合。

五、太平顶地区地质概况和绝对年龄数值的讨论

太平顶地区位于新泰县的西南，平邑县的东北，是北京地质学院区测队建立万山庄和太平顶的标标准地区（图3）。泰山带变质岩层走向大致为西北—东南，一般向西南作 60° — 80° 倾斜，除局部有断层褶皱和小规模的倒转以及小断层以外，总的来讲，可能构成一个厚度巨大（八、九千米以上？）的单斜的一部分。大部分变质岩属铁铝榴石角闪岩相，但在许多地方已受到不同程度的混合岩化作用而改变其矿物组成，局部也受到动力变质作用的影响。据作者等初步观察和805队专题组最近工作，自东北而西南大致分为下列7个岩带（图3之1—7）：

1. 黑云变粒岩带——其西北侧，经过一定宽度的间层状部分混合岩带向黑云二长岩带

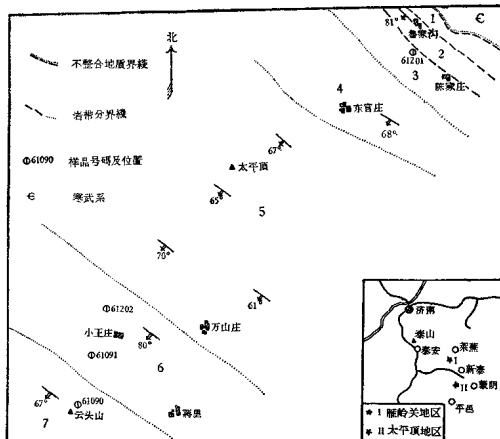


图3 山东新泰平邑间太平顶一带古代泰山带中岩带及绝对年龄样品分布略图

1. 黑云变粒岩带；2. 黑云变粒岩及角闪变粒岩带；3. 部分混合岩化的黑云斜长片麻岩带；4. 角闪云斜长斑状杂岩带；5. 以黑云斜长片麻岩为主的部分混合岩化带；6. 带状混合岩带；7. 黑云黑长均质混合岩带

球状混合岩过渡, 没入寒武系之下。

2. 黑云变粒岩和角闪变粒岩带——局部夹有含角闪石变粒岩、斜长角闪岩、含黑云母变粒岩和浅粒岩等。

3. 部分混合岩化的含石英颗粒的黑云斜长片麻岩带——其最底部(即东北侧)主要为含有石英颗粒的黑云石英片岩, 上部含有黑云斜长条痕状至斑纹状混合岩。

4. 角闪黑云斜长斑纹状混合岩带——其上部含有部分混合岩化的浅粒多层。

5. 含有不同种类的黑云斜长片麻岩为主的部分混合岩化带——在太平顶东北, 其下部含有许多层受到不同程度混合岩化的浅粒岩和层状白云母斜长细晶岩, 也有微呈眼球状的黑云奥长混合岩等。太平顶以南, 在其中部也含黑云变粒岩、豆英状或薄层状斜长角闪岩, 伟晶岩脉较多, 有的片麻岩受强烈的混合岩化作用。其上部含有累计厚度达150+米的斜长角闪岩, 局部有铁铝榴石云母片麻岩, 含长英质脉岩也较多。

6. 黑云奥长条带状混合岩带——夹有黑云奥长眼球状混合岩、部分混合岩化的条带状黑云斜长片麻岩和黑云变粒岩。

7. 黑云奥长均质混合岩带——底部含有少数斜长角闪岩层, 部分岩性接近混合花岗岩。

根据前人^②意见, 自小王庄一线东北至鲁家沟附近, 地层都倒转, 其西南为正常层序, 全部地层构成一个不完整的向东北倒转的大背斜。上述第1带他们称为山草峪组, 其岩性和标准产地相似; 第2带被划归雁岭关组, 但岩性和标准剖面差别较大, 而厚度还不到一半; 3、4两带和第5带的中、下部被划归太平顶组; 5带上部和第6带被划归万山庄组, 构成倒转的轴部; 第7带被划归背斜西南翼的太平顶组。由于最近805队专组根据第5带中粒级层及交错层等原生沉积构造进一步肯定了它的正常层序, 而“背斜”两翼的太

表4 山东新泰、平邑太平顶区变质岩类岩石中矿物绝对年龄数据表

顺序号	样品编号	矿物名称	采样地点	岩石特征	K%	$\text{Ar}_{40}/\text{Ar}_{39}$	Ar_{40}^{40}	测定年龄 (百万千瓦)	采用年 龄(百万千瓦)	采样者	备注
1	61090 (G-T-1)	黑云母	平邑县万山庄西南云头山	黑云奥长均质混 合岩	7.13	0.1056	0.1214	(1451)	(1449)	王泽九、 郭幼华等	
2	61091 (G-T-2)	黑云母	平邑县万山庄西南云头山以北	黑云奥长条带状 混合岩	7.25	0.1751	0.1980	(2002)			
						0.1628	0.1841	(1914)	(2021)	同上	
3	61202 (At-68)	黑云母	平邑县万山庄西南小王庄以北	具有长石夹杂 带的混合质黑云 斜长片麻岩	6.81	0.2313	0.2784	(2445)	(2445)	程裕淇、沈 凤麟、王泽 九、王万生、 赵良忠、刘 群秋等	
4	61201 (At-15)	黑云母	新泰县太平顶东北城陈家庄	具有石英颗粒的 黑云斜长片麻岩, 已受轻微混 合岩化作用	6.48	0.1956	0.2474	2288	2324	同上	
						0.2065	0.2614	2366			

测定单位: 地质部地质科学研究院绝对年龄实验室。

① 北京地质学院区测队和805队1960—1961年在本区进行工作的部分同志。

平頂組，在岩性和順序上又有相當差別，不易對比，可見前人所作的構造解釋和地層對比，還存在問題，有待深入研究解決。因此，以上暫按岩帶分布簡述。本區岩層也可能屬地槽性沉積，一部分岩石性質與雁嶺地區有相似之處；在另一方面，大部分岩層所受的區域變質作用稍深，時間稍晚的以鈉交代為主的混合岩化作用的影響較為廣泛而深刻。

本地區采了4個黑雲母樣品。其中2個采自第3帶（表4之4）和第6帶（表4之3）中受到了不同程度混合岩化作用的黑雲斜長片麻岩，其年齡值分別為23.24億年和24.45億年，是受到不同程度“改造”的變質礦物的年齡。它們所代表的區域變質時代同雁嶺地區一致。另一個（表4之2）采自黑雲奧長條帶狀混合岩，年齡值為20.21億年，同雁嶺地區以鈉交代作用為主的混合岩化作用時期相近。另一個（表4之1）采自混合岩化程度更深的黑雲奧長均質混合岩，其年齡值是14.49億年，是否代表另一期以鈉交代作用為主的混合岩化作用，還是由於樣品位於混合岩化作用地帶的中心，而又受了後期交代作用的影響所致，還有待進一步研究。

六、幾點總結性意見和一些體會

1. 試與作者等近年來在鞍山^[18, 19, 21]、五台山^[23]、呂梁山^[23, 24]、嵩山^[10]等地所發現的古老岩石的絕對年齡、和前人^[4]以及李璞^[18, 25, 26, 27, 28]所報道的內蒙、太行山、鞍山等地古老岩石年齡值比較，本文所報道的有我國目前發現的變質岩（黑雲母）和伟晶岩（白雲母）的最老年齡值。

2. 新泰一帶泰山羣岩石的變質時代，根據變質岩中黑雲母數值>24.5億年，由於樣品都已受到不同程度的交代作用影響而使其年齡值相應地變小，其實際年代，應更較古老；又根據侵入的伟晶岩脉中白雲母數值則>25億年。如根據蘇聯科學院地質絕對年齡委員會1960年公布的地層表^[29]中數值相比，變質時代至少可劃歸太古初期，是否可能屬於太古末期或晚期尚待研究。變質地層原岩的生成時代當更古老。由於泰山羣的變質時代，迄今僅在新泰一帶取得近似數值，作者同意本文在1963年全國矿物岩石地球化學學術會議宣讀後李璞同志的建議，可暫命名為新泰期。

3. 除一個混合岩樣品以外，本區變質岩所受的後期交代作用和岩漿活動已各有兩期的數值，且都屬太古代；為了說明它們的可能聯繫和取得更多活動期的數值，尚需作進一步工作。現有資料說明以鉀交代作用為主的混合岩化作用反較以鈉交代作用為主的早，這與其他地區的一般地質推斷順序相反，也有待進一步研究；其中有一期和泰山地區的年齡值^[29]相近，但其交代性質，未見報道，因此，還不能作進一步對比。看來所經歷的晚期變化比較頻繁，並延續較久。

4. 已有一定絕對年齡數值，在地質推斷的基礎上，肯定了一個地槽型地區發展過程中，其區域性混合岩化、花崗岩化作用的終止晚於區域變質作用。

5. 本區泰山羣的不同岩組或岩層可能只經歷一次並且是同期的區域變質作用，但受到了不同時期和不同性質交代作用和岩漿作用的影響。該羣的一部分變質岩確已受到後期作用的影響而使其年齡值有所降低，但在幾米乃至20米的短距離內，仍高出後期作用

1) 穆裕洪、沈共輝等，1963，鞍山附近鞍山羣的層序和時代。地質丛刊甲種，前寒武紀地質專號(1)，217—247。中國工業出版社。（內部刊印）

的年龄数字达 6—27%。这说明有关变质岩“年龄”受后期作用的再造問題以及怎样追索变质岩原始年龄，是一个复杂而尚待深入研究的变质岩地質年代学重要課題。这也关系到怎样能更有效地在一个复杂地区采取样品的问题。

6. 从同一伟晶岩脉中白云母年齡值較黑云母高出 9% 的事实出发，考虑到其他机构测定中也有白云母数值偏高等情况¹⁾，初步認為研究一个地区的或对比不同地区的两种云母資料时，对这些数据的可能差别，应有所考虑。但还須作更多的实验，才能作出进一步的結論。

7. 泰山羣在鲁中、魯西分布广泛，在未受后期影响的岩石中或混合岩化带的殘留岩层、岩体中，有采得年齡值更为古老的样品的可能。但解决各个組間的上下关系和对比問題，还必须依靠詳細的綜合性地質工作来解决。

参考文献

- [1] 王泽九 1963 河南嵩山两个绝对年齡介绍。地質論評 21 卷 2 期, 107—108。
- [2] 地質部地質力学研究所前寒武紀地層及變質岩研究室 1962 中国的前寒武系。80 頁，科学出版社。
- [3] 沈其蕃等 1963 古生代五台—帶部分岩石絕對年齡数据的討論。地質論評 21 卷 3 期, 154—159。
- [4] 李秉等 1963 內蒙和兩嶺地區某些伟晶岩和花岗岩的钾—氩法絕對年齡測定。地質科學 1 期, 1—9。
- [5] 李秉等 1964 钾—氩法測定者石矿物絕對年齡数据的報道。地質科學 1 期, 24—34。
- [6] 赵宗厚 1954 中国前寒武紀地層問題。地質月報 34 卷 2 期, 169—195。
- [7] 钱承濬 1948 先秦武紀之划分問題。地質論評, 13 卷 3—4 合期, 247—249。
- [8] 周桂林等 1960 关于小區岩石絕對年齡的討論。地質科學 3 期, 111—121。
- [9] 程裕洪等 1963 变质岩的一些基本問題和工作方法。163 頁，中国工业出版社。
- [10] 楊鶴壽 1924 中国地圖附北京濟南臨沂明書。74 頁，前地質調查所。
- [11] Willis, B. 1907 Research in China. Vol. 2. Carnegie Institute of Washington, Washington, D. C.
- [12] Геохронологическая шкала в абсолютном летописческом по данным лабораторий СССР на 1960г. Изв. АН СССР, Сер. геол., № 10,

1) 据 H. I. 波列娃教授在 1959 年面告，她的工作中有这种情况；又李秉报道的內蒙数据^[4]中，(M_{C-08}) 年齡值較 (MG_{V9}) 大 0.51 亿年，是否属相似情况呢？